

УДК 351.510.411

# МОДЕЛИРОВАНИЕ ПРОЦЕССОВ ИОНИЗАЦИИ В АТМОСФЕРЕ, ИНИЦИИРУЕМЫХ РАДИОАКТИВНЫМИ ВЫБРОСАМИ

В.П. Григорьев, О.В. Томашова

Томский политехнический университет

E-mail: am@am.tpu.ru

Представлена модель ионизации влажного воздуха, инициируемая радиоактивными выбросами в нижние слои атмосферы. Учитываются все основные плазмохимические реакции. Проведен предварительный анализ параметров нарабатываемой плазмы и оценка скорости образования отрицательных ионов.

Обнаружение и ликвидация радиоактивных загрязнений в нижних слоях атмосферы представляет одну из наиболее важных экологических проблем. В связи с этим большое внимание уделяется разработке новых безопасных методов обнаружения радиоактивных выбросов в атмосферу. Перспективными являются методы дистанционного обнаружения, основанные на взаимодействии электромагнитных волн с ионизованными образованиями (облаками), которые формируются в атмосфере, подверженной радиоактивному загрязнению.

Первые экспериментальные и теоретические исследования [1, 2] указали на возможность обнаружения радиоактивных слоев в атмосфере по измерению реакции ионизованного атмосферного воздуха на электромагнитное излучение по радиолокационному отклику. Однако для получения надежных измерений на больших расстояниях (десятки километров) и идентификации радионуклидного состава загрязнений необходимо более полно знать структуру и ионный состав плазменных облаков, образующихся в результате радиоактивного распада. Существующие модели ионизации воздуха при радиоактивных распадах не учитывают основные плазмохимические процессы при атмосферном давлении – образование комплексных ионов [3] как положительных, так и отрицательных. Поскольку рекомбинация комплексных ионов происходит значительно быстрее, чем простых молекулярных ионов, то это существенно изменяет плазменный состав и характеристики плазмы.

Уравнения плазмохимических реакций

Нижние слои атмосферы, которые подвергаются радиоактивному загрязнению, в основном состоят из молекулярного азота  $N_2$ , составляющего 78,09 % от объема сухого воздуха, и молекулярного кислорода  $O_2$  – 20,95 %. Такой состав сохраняется вплоть до высот 90 км. Учитывая это, и выделяя плазмохимические реакции с наиболее высокими постоянными взаимодействия, запишем основные уравнения, описывающие наработку плазмы продуктами радиоактивных распадов радионуклидов во влажной атмосфере:

$$\begin{aligned} \frac{\partial [N_2^+]}{\partial t} &= v_1 [N_2] - n_e [N_2^+] \alpha_{r1}^{(2)} - \\ &- [N_2^+] X_4^+(N_2) [N_2]^2 - [O_2^-] [N_2^+] \alpha_r^-, \\ \frac{\partial [N_4^+]}{\partial t} &= [N_2^+] X_4^+(N_2) [N_2]^2 - n_e [N_4^+] \alpha_{r1}^{(4)}, \\ \frac{\partial [O_2^+]}{\partial t} &= v_2 [O_2] - n_e [O_2^+] \alpha_{r2}^{(2)} - \end{aligned} \quad (1)$$

$$- [O_2^+] X_4^+(O_2) [O_2] - [O_2^-] [O_2^+] \alpha_r^-, \quad (2)$$

$$\frac{\partial [O_4^+]}{\partial t} = [O_2^+] X_4^+(O_2) [O_2]^2 - n_e [O_4^+] \alpha_{r2}^{(4)},$$

$$\frac{\partial [O_2^-]}{\partial t} = n_e K_{s1} [O_2] [N_2] + n_e K_{s2} [O_2]^2 - [O_2^-] X_4^-(O_2) [O_2]^3$$

$$\begin{aligned} &- [O_2^-] [O_2^-] \alpha_r^- - [N_2^+] [O_2^-] \alpha_r^- K_{d1} [O_2] \times \\ &\times [N_2] - K_{d2} [O_2^-] [O_2] + K_{s3} [O_2] n_e [H_2O] - \\ &- K_{d3} [O_2^-] [H_2O], \end{aligned} \quad (4)$$

$$\begin{aligned} \frac{\partial [H_2O]}{\partial t} &= - n_e [H_2O] K_{дис} - n_e [H_2O] K_{сн}^{O^-} - \\ &- n_e [H_2O] K_{сн}^{H^+} - K_4 [O^-] [H_2O], \end{aligned} \quad (5)$$

$$\begin{aligned} \frac{\partial [O^-]}{\partial t} &= n_e [H_2O] K_{сн}^{O^-} - K_6 n_e [O^-] - \\ &- K_4 [O^-] [H_2O], \end{aligned} \quad (6)$$

$$\begin{aligned} \frac{\partial [H^-]}{\partial t} &= n_e [H_2O] K_{сн}^{H^-} - \\ &- K_8 n_e [H^-] - K_7 [H^-] [O_2] - K_5 [H^-] [H_2O], \end{aligned} \quad (7)$$

$$\frac{\partial [O_4^-]}{\partial t} = [O_2^-] X_4^-(O_2) [O_2]^2 - [O_4^-] [N_2^+] \alpha_r^-,$$

$$\frac{\partial n_e}{\partial t} = v_1 [N_2^+] + v_2 [O_2^+] - n_e [N_2^+] \alpha_{r1}^{(2)} - \quad (8)$$

$$\begin{aligned} &- n_e [O_2^+] \alpha_{r2}^{(2)} - n_e [N_4^+] \alpha_{r1}^{(4)} - \\ &- n_e [O_4^+] \alpha_{r2}^{(4)} - n_e K_{s1} [O_2] [N_2] - n_e K_{s2} [O_2]^2 + \\ &+ K_{d1} [O_2^-] [N_2] + K_{d1} [O_2^-] [O_2]. \end{aligned} \quad (9)$$

Здесь квадратными скобками обозначены концентрации соответствующих частиц.

$n_e$  – концентрация электронов плазмы и ионизирующих частиц,  $v_1, v_2$  – частота ионизации молекул азота и кислорода воздуха [2, 3],  $[N_2] = 2,1 \times 10^{19} \text{ см}^{-3}$  – плотность молекул азота,  $[O_2] = 5,6 \cdot 10^{18} \text{ см}^{-3}$  – плотность молекул кислорода.

Постоянные взаимодействия плазмохимических реакций в уравнениях (1–10) описываются выражениями [3–5]:

$K_{s1} = 1,6 \cdot 10^{-31} \text{ см}^6/\text{с}$  – скорость тройного прилипания электрона к молекулам кислорода с участием молекул азота;

$K_{s2} = 1,4 \cdot 10^{-29} (0,026/T_e) \exp[-0,052/T_e] \text{ см}^6/\text{с}$  – скорость тройного прилипания электрона с участием двух молекул кислорода;

$K_{d1} = 1,9 \cdot 10^{-12} (T_g/300)^{3/2} \exp[-4990/T_g] \text{ см}^3/\text{с}$ ,

$K_{d2} = 2,7 \cdot 10^{-10} (T_g/300)^{1/2} \exp[-5590/T_g] \text{ см}^3/\text{с}$  – скорости разрушения отрицательных ионов  $O_2^-$ ;

$X_4^+(N_2) = 5,0 \cdot 10^{-29} \text{ см}^6/\text{с}$ ,  $X_4^+(O_2) = 2,5 \cdot 10^{-30} \times (300/T_g)^{0,75} \text{ см}^6/\text{с}$  – скорость конверсии молекулярных ионов  $N_2^+$  и  $O_2^+$  в сложные ионы;

$X_4^-(O_2) = 0,4 \cdot 10^{-30} \text{ см}^6/\text{с}$  – скорость преобразования

молекулярных отрицательных ионов в  $O_4^-$ ;

$\alpha_{r1}^{(2)} = 2,0 \cdot 10^{-7} (0,026/T_e)^{0,39} \text{ см}^3/\text{с}$ ,  $\alpha_{r2}^{(2)} = 2,1 \cdot 10^{-7} (0,026/T_e)^{0,56} \text{ см}^3/\text{с}$  – скорость диссоциативной рекомбинации ионов  $N_2^+$  и  $O_2^+$ ;

$\alpha_{r1}^{(4)} = 2,0 \cdot 10^{-6} (0,026/T_e)^{0,5} \text{ см}^3/\text{с}$ ,  $\alpha_{r2}^{(4)} = 1,4 \times 10^{-7} (0,026/T_e)^{0,5} \text{ см}^3/\text{с}$  – скорость рекомбинации комплексных ионов  $N_4^+$  и  $O_4^+$ ;

$\alpha_r \approx 2,0 \cdot 10^{-6} \text{ см}^3/\text{с}$  – коэффициент рекомбинации отрицательных ионов кислорода с положительными ионами  $N_2^+$  и  $O_2^+$ ;

$K_{\text{дис}} \approx (10^{-17} \dots 10^{-18}) \text{ м}^3/\text{с}$  – скорость изменения концентрации паров воды за счет процесса распада молекулы  $H_2O$ ;

$K_{\text{дн}}^{O^-} = 1,3 \cdot 10^{-16} \text{ м}^3/\text{с}$ ,  $K_{\text{дн}}^{H^+} = 5,0 \cdot 10^{-16} \text{ м}^3/\text{с}$  – скорость диссоциативного прилипания электронов к молекулам воды;

$K_{\text{д3}} = 1,6 \cdot 10^{-40} \text{ м}^6/\text{с}$  – скорость гибели ионов  $O_2^-$  при столкновении с молекулами воды;

$K_{\text{д3}} = 1,4 \cdot 10^{-41} \text{ м}^6/\text{с}$  – скорость тройного прилипания электрона к молекулам кислорода с участием молекул воды;

$K_4 = 1,4 \cdot 10^{-15} \text{ м}^3/\text{с}$ ,  $K_5 = 3,8 \cdot 10^{-15} \text{ м}^3/\text{с}$  – скорости реакции ионно-молекулярной конверсии, ведущей к образованию устойчивого отрицательного иона гидроксила и молекулярного водорода;

$K_6 = 5,0 \cdot 10^{-14} \text{ м}^3/\text{с}$  – скорость гибели ионов  $O^-$  в результате их разрушения электронным ударом;

$K_7 = 1,2 \cdot 10^{-15} \text{ м}^3/\text{с}$  – скорость ассоциативного отрыва электрона;

$K_8 = 4,0 \cdot 10^{-15} \text{ м}^3/\text{с}$  – скорость гибели  $H^-$  в результате их разрушения электронным ударом;

$T_e$  – температура электронов;

$T_g$  – температура газа.

Нелинейная система уравнений (1–10) описывает наработку основных частиц в плазменном облаке. Плотность нарабатываемых частиц зависит от времени и координат и определяется распределением радиоактивных выбросов в пространстве и времени, их качественным составом и уровнем активности.

Так как скорости плазмохимических процессов и параметры образующейся плазмы (например: проводимость, коэффициенты диффузии и др.) существенно зависят от температуры плазменных электронов, то для полноты дополним систему (1–10) уравнением для  $T_e$ . Используя известные уравнения [6] и, в общем случае предполагая наличие внешней электромагнитной волны с амплитудой  $E_0$  и частотой  $\omega$ , запишем уравнение для  $T_e$  в виде:

$$\partial T_e / \partial t = \frac{1}{3} \mu \chi^2 \frac{\omega^2}{(\omega^2 + \nu_m^2)} - \nu_m T_e - T_y$$

Здесь  $N_{\text{ек}}$  – средний коэффициент передачи энергии от плазменных электронов тяжелым частицам, зависящий от  $T_e$  и связанный с упругим и неупругим столкновениями,  $\nu_m$  – эффективная частота столкновений плазменных электронов, равная суммарной частоте упругих  $\nu_i$  и неупругих  $\nu_1$  столкновений.

В широкой области низкотемпературной плазмы в плотном газе  $\nu_m$  определяется упругими столкновениями плазменных электронов с нейтральными частицами

и равна [6]

$$\nu_m \approx \nu_{\text{са}} = 0,63 \cdot 10^{-8} N_g (T_e/0,026)^{1/2},$$

где  $N_g$  – концентрация нейтральных частиц.

В сильных электрических полях и условиях, близких к стационарным, для определения  $T_e$  удобно использовать эмпирическую зависимость от параметра  $(E_0/N_g)^{1/2}$  [7]

$$T_e = 0,026 \cdot [10^{20} (E_0/N_g)^{0,6}], \text{ эВ.}$$

Поле  $E_0$  берется в В/см,  $N_g$  в  $\text{см}^{-3}$ .

Приведенная выше система уравнений совместно с учетом состава и интенсивности радиоактивных выбросов в атмосферу позволяет определять параметры плазмы, включая ее ионный состав, в атмосфере. Решение этой системы уравнений в общем случае требует применения численных методов. Однако для оценки влияния отдельных механизмов взаимодействия на ионный состав плазмы можно использовать некоторые упрощения. В частности, для оценки роли одного из главных взаимодействий – прилипания электронов к нейтральным молекулам кислорода можно рассмотреть сухой воздух и ограничиться уравнением (10) в виде

$$\delta v_s / \delta \tau = \vartheta - \alpha_r v_s^2 - v_s \varpi_s + \vartheta_s,$$

где  $v_s = K_{\text{д2}} [O_2]^2$  – частота прилипания низкоэнергетичных электронов в воздухе,  $J$  – скорость наработки электронов,  $\alpha_r$  – коэффициент рекомбинации электронов с положительными ионами,  $J_d = [O_2^-] \times (K_{\text{д1}} [N_2] + K_{\text{д2}} [O_2])$  – удельная скорость отлипания электронов.

В установившемся режиме решение уравнения (13) имеет вид

$$v_s = -\frac{\varpi_s}{2\alpha_r} + \left( \frac{\varpi_s^2}{4\alpha_r^2} + \frac{\vartheta}{\alpha_r} \right)^{1/2}, \quad \vartheta_1 = \vartheta + \vartheta_s.$$

В предельных случаях из (14) получим:

а)  $\frac{\varpi_s^2}{4\alpha_r^2} \ll \frac{\vartheta}{\alpha_r}$  – основные потери электронов обусловлены рекомб.  $v_s \approx \left( \frac{\vartheta}{\alpha_r} \right)^{1/2}$ ;

б)  $\frac{\varpi_s^2}{4\alpha_r^2} \gg \frac{\vartheta}{\alpha_r}$  – основным процессом гибели электронов является их прилипание к нейтральным частицам.

$$v_s \approx \frac{\varpi_s}{\alpha_r}.$$

Для плотности положительных ионов  $n^+$  в установившемся режиме с

$$n^+ = \left( \frac{\vartheta}{\alpha_r} \right)^{1/2}.$$

Учитывая молекулярный состав воздуха при давлении  $\sim 10^5$  Па в области температур плазменных электронов  $1 \dots 10$  эВ, получим, что частота прилипания электронов  $v_s \sim 3 \cdot 10^7 \dots 2 \cdot 10^6 \text{ с}^{-1}$ , а коэффициент рекомбинации лежит в пределах  $\alpha_r \approx (0,48 \dots 0,2) \cdot 10^{-7} \text{ см}^3/\text{с}$ .

Отсюда следует, что для существования электронной компоненты плазмы с  $n_e \sim 10^6 \text{ см}^{-3}$  при атмосферном давлении воздуха необходимо, чтобы скорость

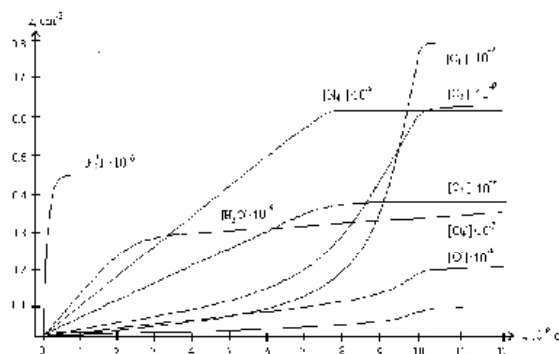


Рисунок. Зависимости концентраций ионов  $z$  от времени  $t$  при  $T_e = 300$  К,  $T_e = 1$  эВ

наработки электронов была не меньше  $J_1 \sim 10^{12} \text{ см}^{-3} \text{ с}^{-1}$ . В обычных условиях это возможно только при достаточно высоком уровне активности выбросов. При наличии внешнего электрического поля (электромагнитный импульс локатора или дополнительная подсветка) эта задача существенно облегчается, так как в этом случае сильно возрастает скорость реакции разрушения отрицательных ионов кислорода. Так, при  $E_0 \sim 10 \text{ кВ/см}$ , что ниже предела пробоя воздуха,  $K_{d1} \sim K_{d2} \sim 10^{12} \text{ см}^{-3} \text{ с}^{-1}$ , и равновесие между процессами образования ионов  $O_2^-$  и их разрушением стабилизируется при  $[O_2^-] \ll n_e$ . В результате можно получить плазму с высокой концентрацией электронов.

В общих предположениях на основе уравнений (1–10) были проведены расчеты по ионизации воздуха радиоактивными загрязнениями. Результаты моделирования приведены на рисунке.

#### Заключение

Представленная в работе модель ионизации воздуха при радиоактивных загрязнениях атмосферы позволяет определить ионный состав и плотность нарабатываемой плазмы в зависимости от состава радионуклидных выбросов в атмосферу.

Естественным развитием данной модели является учет влияния внешнего электромагнитного поля на процессы ионизации и влияние ионизационных процессов на стимулирование конденсации и выпадение осадков с загрязнениями.

#### СПИСОК ЛИТЕРАТУРЫ

1. Боярчук К.А., Кононов Е.Н., Ляхов Г.А. Радиолокационное обнаружение областей локальной ионизации в приземных слоях атмосферы // Письма в ЖТФ. – 1993. – Т. 19, вып. 6. – С. 67–72.
2. Диденко А.Н., Усов Ю.П., Юшков Ю.Г., Григорьев В.П. и др. Использование импульсных радиолокаторов СВЧ диапазона для контроля радиоактивных выбросов в атмосферу // Атомная энергия. – 1996. – Т. 80, вып. 1. – С. 47–53.
3. Смирнов Б.М. Ионы и возбужденные атомы в плазме. – М.: Атомиздат, 1974. – 456 с.
4. Александров Н.Л. Трехчастичное прилипание электронов к молекуле // Успехи физических наук. – 1988. – Т. 154, вып. 2. – С. 177–122.
5. Елецкий А.В., Смирнов Б.М. Диссоциативная рекомбинация электрона и молекулярного иона // Успехи физических наук. – 1982. – Т. 136, вып. 1. – С. 25.
6. Гинзбург В.Л. Распространение электромагнитных волн в плазме. – М.: Наука, 1967. – 684 с.